

The Effect of Intracerebroventricular Administration of Streptozocin on Cell Proliferation in Subventricular Zone Stem Cells in a Rat Model of Alzheimer's Disease

Hoda Pasand Mozhdeh^{1,2}, Bahman Zeynali¹, Hadi Aligholi^{2,3}, Iraj Kashani Radgerdi⁴, Sajad Sahab Negah²,
Gholamreza Hassanzadeh^{4*}

¹Department of Biology, Faculty of Sciences, University of Tehran, Tehran, Iran

²Shefa Neuroscience Research Center, Khatam Alanbia Hospital, Tehran, Iran

³Department of Neuroscience, School of Advanced Medical Sciences and Technologies, Shiraz University of Medical Sciences, Shiraz, Iran

⁴Department of Anatomy, School of Medicine, Tehran University of Medical Sciences, Tehran, Iran

Article Info:

Received: 20 Jun 2015

Accepted: 30 Jul 2015

ABSTRACT

Introduction: Alzheimer's disease (AD) is the most common neurodegenerative disorder with the prevalence of one eighth or about 10% of people older than 65 years old. Aiming to induce progressive dementia and neurodegeneration, intracerebroventricularly (ICV) injection of streptozocin (STZ), a diabetogenic factor, was performed. Since this model leads to behavioral disorders, impaired energy, and glucose utilization, it is an appropriate model for AD. Reduction of the potency of stem cells in the subventricular zone (SVZ), one of the brain neurogenic regions, in AD has been reported. In this study, we examined the effect of ICV administration of STZ on stem cell proliferation in SVZ. **Materials and Methods:** Thirty male Wistar rats were classified into three groups, including control, sham, and STZ. Drug injection (3 mg/kg- ICV) was performed in lateral ventricles in days 1 and 3 after recovery of operation. Finally, after SVZ cell culture, cell proliferation was measured by evaluation of morphology, number, and diameter indexes of neurospheres. **Results:** Our study revealed that proliferation indexes, such as diameter and the number of neurosphere, were significantly decreased in the treatment group compared to control and sham groups. **Conclusion:** Our data has shown that application of STZ decreases proliferation of stem cells in SVZ of the brain.

Key words:

- 1. Alzheimer Disease
- 2. Streptozocin
- 3. Neural Stem Cells

* Corresponding Author: Gholamreza Hassanzadeh

E-mail: hassanzadeh@tums.ac.ir



اثر تجویز درون بطنی استرپتوزوسین بر تکثیر سلول در سلول‌های بنیادی ناحیه تحت بطنی در بک مدل موش صحرایی مبتلا به بیماری آلزایمر

هدی پسنده‌زاده^{۱,۲*}، بهمن زینلی^۱، هادی علیقلی^۲، ایرج کاشانی رادگردی^۳، سجاد سحاب نگاه^۳، غلامرضا حسن‌زاده^۴

^۱گروه زیست‌شناسی، دانشکده علوم، دانشگاه تهران، تهران، ایران

^۲مرکز تحقیقات علوم اعصاب شفا، بیمارستان خاتم الانبیاء، تهران، ایران

^۳گروه علوم اعصاب، دانشکده فناوری‌های نوین پزشکی، دانشگاه علوم پزشکی شیراز، شیراز، ایران

^۴گروه آناتومی، دانشکده پزشکی، دانشگاه علوم پزشکی تهران، تهران، ایران

اطلاعات مقاله:

تاریخ پذیرش: ۸ مرداد ۱۳۹۴

تاریخ دریافت: ۳۰ خرداد ۱۳۹۴

چکیده

مقدمه: بیماری آلزایمر شایع‌ترین اختلال تحلیل برنده عصبی با شیوع یک هشت‌تیم یا حدود ۵۰ درصد از افراد مسن‌تر از ۶۵ سال است. برای رسیدن به القاء زوال پیشرونده و تحلیل عصبی، تزریق درون بطنی استرپتوزوسین، یک فاکتور دیابتوزنیک، انجام شد. از آنجایی که این مدل منجر به اختلالات رفتاری، اختلال اندیشه و مصرف گلوکز شد، یک مدل مناسب برای آلزایمر است. کاهش توان سلول‌های بنیادی در ناحیه تحت بطنی، یکی از نواحی نوروزنیک مغز، در بیماری آلزایمر گزارش شده است. در این مطالعه، ما تأثیر تجویز درون بطنی استرپتوزوسین در تکثیر سلول بنیادی در ناحیه تحت بطنی را آزمایش کردیم. **مواد و روش‌ها:** ۳۰ سر موش صحرایی ویستار نر به ۳ گروه تقسیم بندی شدند، شامل: کنترل، شم و STZ. تزریق دارو (۳ میلی گرم/کیلوگرم - تزریق درون بطنی) در بطن‌های جانبی در روزهای ۱ و ۳ بعد از بهبودی از عمل جراحی انجام شد. سرانجام بعد از کشت سلول ناحیه تحت بطنی، تکثیر سلول توسط سنجش شاخص‌های ریخت‌شناسی، تعداد و قطر نوروسفرها اندازه‌گیری شد. **یافته‌ها:** مطالعه ما نشان داد که تکثیر شاخص‌ها از قبیل قطر و تعداد نوروسفرها، در گروه درمان در مقایسه با گروه‌های کنترل و شم به طور معنی‌داری کاهش داشت. **نتیجه‌گیری:** اطلاعات ما نشان داد که استفاده از استرپتوزوسین تکثیر سلول‌های بنیادی در ناحیه تحت بطنی مغز را کاهش می‌دهد.

کلید واژه‌ها:

۱. بیماری آلزایمر
۲. استرپتوزوسین
۳. سلول‌های بنیادی عصبی

* نویسنده مسئول: غلامرضا حسن‌زاده

آدرس الکترونیکی: hassanzadeh@tums.ac.ir

شناخت

آمیلوبیوتیک را افزایش می‌دهد^(۴). حافظه کوتاه‌مدت^(۱۴) و حافظه بلندمدت^(۱۵) نیز به طور پیشرونده و مرحله به مرحله^(۱۶) بعد از تزریق درون بطنی استرپتووزوسین رو به زوال می‌گذارند و از آنجا که این مدل منجر به اختلال رفتاری، اختلال متابولیسم انرژی و گلوکز می‌شود، برای مدل تک‌گیر آلزایمر بسیار مناسب است^(۵). آزمون‌های رفتاری حافظه اجتنابی غیرفعال^(۷)، ماز آبی موریس^(۸) مؤید مؤثر بودن استرپتووزوسین در ایجاد آلزایمر هستند^(۶، ۷).

سال‌های بسیاری عقیده بر این بود که سیستم عصبی مرکزی در زمان بزرگ‌سالی قابلیت نورون‌زایی ندارد. تا اینکه تقریباً از یک قرن پیش به موازات پیشرفت در فناوری، سلول‌هایی که قابلیت تکثیر و تمایز به نورون و گلیا دارند در مناطقی از مغز و نخاع شناسایی شدند. تا به حال، نورون‌زایی فعل در ناحیه تحت بطنی دیواره جانبی بطن‌های طرفی^(۹)، ناحیه تحت گرآنولی جایروس دندانهای^(۱۰) و ناحیه تحت اپاندیمی در هیپو‌تalamوس^(۱۱) مشخص شده است^(۱۲-۱۳).

در اوایل قرن حاضر Allen، سلول‌های میتوزی را در ناحیه تحت بطنی دیواره جانبی بطن جانبی موش‌های صحرابی بالغ شناسایی کرد^(۱۲). ناحیه تحت بطنی در دوران تکامل جنینی در نزدیکی ناحیه بطنی تشکیل می‌شود و در ناحیه برآمدگی گانگلیونی، بسیار قابل توجه می‌باشد^(۱۳). ناحیه تحت بطنی از یکسری سلول‌ها تشکیل شده است. احتمالاً سلول‌های نوع B1 که همان آستروسیت‌ها هستند، سلول‌های بنیادی در ناحیه تحت بطنی محسوب می‌شوند و این سلول‌ها تقسیم شده و سلول‌های نوع C که قابلیت تکثیر سریع دارند را می‌سازند و سلول‌های نوع C به نوبه خود افزایش یافته و به سلول‌های نوع A که نوروبلاست‌های مهاجرت کننده هستند، تبدیل می‌شوند. زنجیره سلول‌های نوع A به وسیله سلول‌های نوع B1 و سلول‌های نوع C احاطه شده‌اند^(۱۴، ۱۵).

با توجه به هزینه‌های سنگین نگهداری از بیماران، آلزایمر یکی از اصلی‌ترین دغدغه‌های عمومی مربوط به سلامت جوامع تلقی می‌شود؛ از سوی دیگر با فراهم شدن امکان دسترسی به سلول‌های بنیادی در بالغین و تأثیر منفی بیماری آلزایمر بر این ذخیره بنیادی و با در نظر گرفتن این نکته که اغلب بیماران مبتلا به آلزایمر از اختلالات هورمون تیروئید نیز رنج می‌برند بر آن شدیدم میزان تأثیر این هورمون را بر میزان بیان ژن-1 seladin درگیر در آلزایمر بیینیم و در صورت افزایش بیان آن، نقش محافظتی این هورمون در مقابل بیماری آلزایمر ثابت خواهد شد.

مقدمه

بیماری آلزایمر^(۱) شایع‌ترین اختلال تحلیل برنده عصبی^(۲) نقص اکتسابی پیشرونده عملکرد شناختی است که محتوای هوشیاری را بدون تغییر در سطح آن تحت تأثیر قرار می‌دهد و در سال ۱۹۰۶ توسط آلواس آلزایمر^(۳) با تشریح مغز زن میانسالی که دچار نقص حافظه پیشرفت و فقدان پیشرونده توانایی‌های خود بود معروفی شد^(۱). سه علامت بارز آلزایمر عبارتند از: ۱- آتروفی^(۴) مغز که در آن مغز تحلیل رفته، وزن آن کاهش یافته، شکنجه‌های مغز باریک، شیارهای آن عریض و بطن‌ها متسع می‌شوند^(۲)- پلاک‌های پیتید آمیلوبنید بتا^(۵) که هم به صورت داخل سلوی و هم خارج سلوی رسوپ می‌کنند^(۳)- کلاف‌های نوروفیبریلاری (NTF)^(۶) که در نتیجه ناهنجاری در اسکلت سلوی ایجاد می‌شوند. در نهایت با از هم پاشیدن میکروتوبول‌ها، اختلال در انتقال آکسونی و مرگ نورونی رخ می‌دهد^(۲). از نظر شیوع، تقریباً یک هشتادم یا به عبارتی حدود ده درصد افراد مسن‌تر از ۶۵ سال به بیماری آلزایمر مبتلا می‌شوند. بیماری آلزایمر به دو نوع اصلی تقسیم می‌شود، نوع خانوادگی یا ارشی (FAD)^(۷) که پیش از موعده بروز می‌کند و اغلب خانوادگی و ارشی است و نوع تک‌گیر (SAD)^(۸) که به صورت انفرادی و بدون جهش ژنتیکی است و اغلب در دهه ۸۰ به بعد زندگی اتفاق می‌افتد.

در این پژوهش از تزریق درون بطنی (ICV)^(۹) که یک فاکتور دیابتوزیک است برای تخریب متابولیسم مغزی گلوکز استفاده می‌شود. بعد از تزریق STZ، اختلال در نقش تنظیم کننده عصبی^(۱۰) انسولین و گیرنده آن ایجاد می‌شود و در نتیجه آن اختلال در متابولیسم گلوکز، یادگیری، حافظه، ناهنجاری عمومی و موضعی در متابولیسم مغزی گلوکز به همراه کمبود انرژی، کمبود سیستم کولینرژیک و عصبدهی آن ظاهر می‌شود و تمامی این اختلالات را به اثر STZ بر متابولیسم گلوکز و کنترل آن توسط آبشار پیام‌رسانی^(۱۱) انسولین و گیرنده آن نسبت می‌دهند^(۳).

برای القاء تخریب و زوال پیشرونده مانند آنچه در نوع تک‌گیر آلزایمر دیده می‌شود از تزریق STZ استفاده می‌شود که منجر به کاهش شدید انرژی در بافت هیپوکامپ و قشر مغز شده، انرژی در دسترس کاهش یافته و پروسه‌های وابسته به آن از جمله تا خوردن، مرتب کردن پروتئین‌ها، بسته بندی آن‌ها در وزیکول، انتقال ناقلین عصبی^(۱۲) و ارگانل‌های گلزی و رفتارهای یادگیری و حافظه همگی تحت تأثیر قرار می‌گیرند و به طور پیشرونده رفتار، حافظه و ترکیبات غنی از انرژی را کاهش و تولید مشتقات

¹ Alzheimer's disease

² Neurodegenerative

³ Alois Alzheimer

⁴ Atrophy

⁵ Amyloid precursor protein (Aβ)

⁶ Neurofibrillary tangle

⁷ Familial Alzheimer's disease

⁸ Sporadic Alzheimer disease

⁹ Intracerebroventricular

¹⁰ Streptozotocin

¹¹ Neuromodulatory

¹² Signaling

¹³ Neurotransmitters

¹⁴ Short-term memory

¹⁵ Long-term memory

¹⁶ Step wise manner

¹⁷ Passive avoidance test

¹⁸ Morris water maze

¹⁹ Subventricular zone of lateral wall of lateral ventricle

²⁰ Sub-granular zone of dentate gyrus

²¹ Hypothalamic sub-ependymal zone

مواد و روش‌ها

تعداد نوروسفرها در هر عکس به وسیله نرم‌افزار Infinity analyze software شمارش گردید. برای اندازه‌گیری قطر نوروسفرها از نرم‌افزار Infinity استفاده شد و نتایج به صورت میانگین دو قطر عمود بر هم به عنوان قطر نوروسفر توصیف شدند. از نظر ریخت شناسی^{۲۲}، رنگ و شکل هندسی و میزان شناوری نوروسفرها و سلول‌ها مورد مقایسه قرار گرفت.

آنالیز آماری

تمامی داده‌ها به صورت میانگین ± انحراف معیار گزارش شده‌اند. آنالیز آماری به وسیله نرم‌افزار SPSS سری ۲۱ انجام شد. برای بررسی یک متغیر بین چند گروه مجزا از آزمون One Way ANOVA و تست تعقیبی Tukey استفاده گردید. $P < 0.05$. به عنوان سطح معنی‌داری در نظر گرفته شد.

یافته‌ها

مشاهدات ریخت شناسی

در مطالعه ریخت شناسی، نوروسفرها اغلب طلایی رنگ و در ابعاد مختلف مشاهده شدند. بعضی کاملاً گرد و مدور بوده و برخی شکل هندسی خاصی نداشتند. اکثر موارد، نوروسفرها شناور بودند و گاهی به صورت سست به کف ظرف چسبیده و استطلاوهایی نیز در اطراف آن‌ها دیده می‌شد (تصویر ۱). در مقایسه کیفی بین ریخت شناسی نوروسفرها در سه گروه مورد بررسی با توجه به تصویر می‌توان گفت در گروه کنترل و شم نوروسفرها، تیبیک با سیتوپلاسم شفاف و رنگ مایل به طلایی روشن و از نظر ظاهری کاملاً کروی با حاشیه نظم بودند، در حالی که در گروه آزادیر تعداد کمتر نوروسفر با ویژگی بالا دیده شد، علاوه بر این در این گروه تعدادی نوروسفر با اشکال نامنظم و کوچک با حاشیه نامنظم و در بعضی موارد با رنگ طلایی تیره مایل به قهوه‌ای و غیر شفاف دیده شد.

بررسی تعداد نوروسفر

در مطالعه حاضر از دو شاخص تعداد نوروسفر و قطر نوروسفر جهت بررسی چگونگی تأثیر STZ بر تکثیر و پتانسیل خود تجدیدی سلول‌های بنیادی/پیش‌ساز عصبی کشت داده شده، استفاده شد. میانگین کل تعداد نوروسفر در گروه شم برابر $272/2 \pm 56/81$ و در گروه کنترل برابر $420 \pm 89/28$ در گروه STZ برابر $111/8 \pm 25/84$ نوروسفر است. پتانسیل تکثیری سلول‌های بنیادی و در نتیجه تعداد نوروسفر در گروه STZ بهشدت کاهش یافت و اختلاف معنی‌داری بین این گروه با دو گروه شم و کنترل مشاهده شد (تصویر ۲ و نمودار ۱)- $P < 0.001$ ($F(4,2) = 30/0.2$). از سوی دیگر اختلاف معنی‌دار بین تعداد نوروسفر در دو گروه شم و کنترل با سطح معنی‌داری ($P < 0.01$) و افزایش پتانسیل تکثیری سلول‌های بنیادی در گروه شم مشاهده شد.

در این تحقیق تعداد ۳۰ سر موش صحرایی^{۲۳} نر آلبینو^{۲۴}، نژاد ویستار^{۲۵} با وزن ۱۰۰-۱۵۰ گرم از مرکز علوم اعصاب شفا بیمارستان خاتم الانبیاء تهیه شد و در سه گروه شامل گروه کنترل بدون هیچ‌گونه مداخله، گروه شم دریافت کننده محلول نرمال سالین (به میزان ۵ میکرولیتر در هر بطن) بعد از جراحی استریوتاکسی و گروه STZ دریافت کننده محلول STZ با دوز ۳ میلی‌گرم بر کیلوگرم وزن بدن حل شده در نرمال سالین (به میزان ۵ میکرولیتر در هر بطن) بعد از جراحی استریوتاکسی قرار گرفتند. موش‌های صحرایی در حیوانخانه مرکز تحقیقات علوم اعصاب شفا بیمارستان خاتم الانبیاء، مطابق کمیته اخلاقی مرکز تحقیقات شفا نگهداری شدند. تمام آزمایشات با توجه به دستورالعمل‌های جهانی نگهداری (NIH)^{۲۶} انجام شد.

جراحی استریوتاکسی و کشت سلولی

موش‌های صحرایی بیهوش شده و با استفاده از دستگاه استریوتاکسی و بر اساس اطلس پاکسینوس، مختصات فضایی بطن‌های طرفی تعیین شده و بعد از دریبل شدن کانول‌های راهنمای (گیج ۳۷)^{۲۷} به صورت دوطرفه داخل بطن‌ها گذاشته شدند. در طول جراحی و پس از آن تا زمان به هوش آمدن، به‌منظور حفظ دمای بدن موش‌های صحرایی در 37 ± 0.5 درجه سانتی‌گراد، از پد گرم کننده استفاده شد (۱۶). پس از ۵ تا ۷ روز، استریپتوزوپسین به میزان ۳ میلی‌گرم بر کیلوگرم وزن بدن به صورت داخل بطنی در دو دوز تزریق گردید. بعد از گذشت ۲۱ روز ناحیه تحت بطنی کشت داده شد. نمونه بافتی پس از مرحله هضم مکانیکی به وسیله تیغ بیستوری، با ۲۵۰ میکرولیتر تریپسین 0.05% به مدت ۴ دقیقه هضم آنزیمی شد و بعد از افزودن مهارکننده تریپسین با دور 810 rpm به مدت ۵ دقیقه سانتریفیوژ گردید، رسوب سلولی در محیط کشت نوروسفر (Gibco) DMEM-F12 و فاکتور رشد اپیدرمی (Gibco) B27 supplement به مدت ۱٪ (Sigma) بود در درون انکوباتور با دمای 37 درجه سانتی‌گراد، رطوبت ۹۵ درصد و دی‌اکسید کربن ۵ درصد کشت داده شدند.

طی مدت ۱۵ روز سلول‌های بنیادی / پیش‌ساز عصبی به صورت مجموعه‌ای از سلول‌های کروی به نام نوروسفر تکثیر شدند. با افزایش حجم نوروسفرها پاساز سلولی با جمع آوری نوروسفرها داخل لوله فالکن و سانتریفیوژ با دور 810 rpm به مدت ۵ دقیقه انجام شد. شمارش سلولی با استفاده از تریپان‌بلو و لام نتوبار انجام گرفت و بعد از پاساز دوم، قطر و تعداد نوروسفرها اندازه‌گیری شد (۱۷).

جهت ارزیابی تکثیر سلولی، ۲ شاخص تعداد نوروسفر و قطر نوروسفر در نظر گرفته شد. روز هفتم کشت، از هر ظرف ۵ عکس به صورت تصادفی به وسیله میکروسکوپ گرفته شد.

²² Rat

²³ Albino

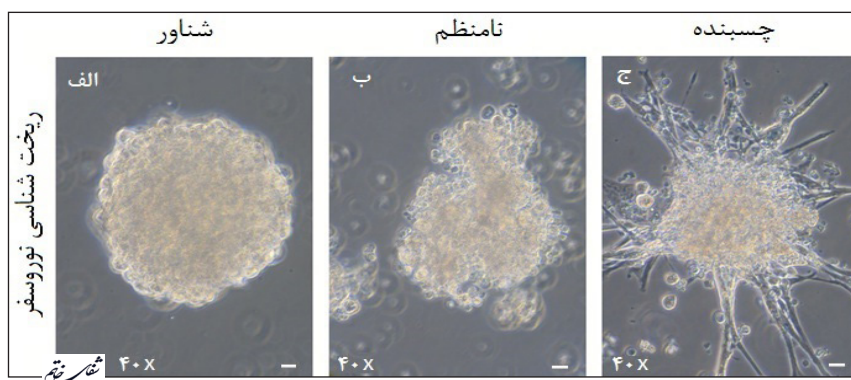
²⁴ Wistar

²⁵ National institutes of health

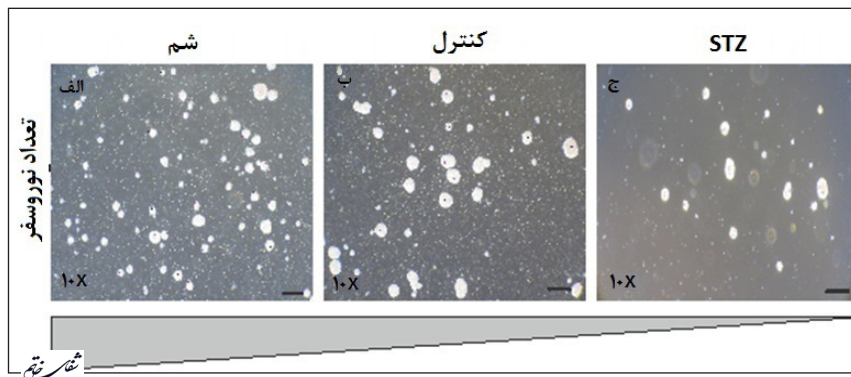
²⁶ 27-Gauge

²⁷ Morphology

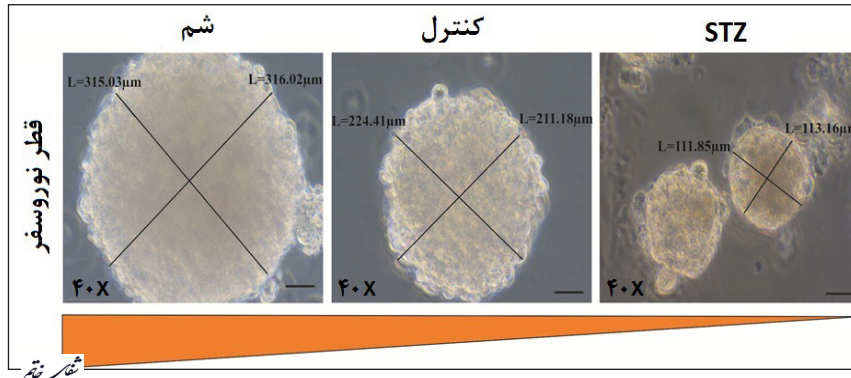
تحقیق



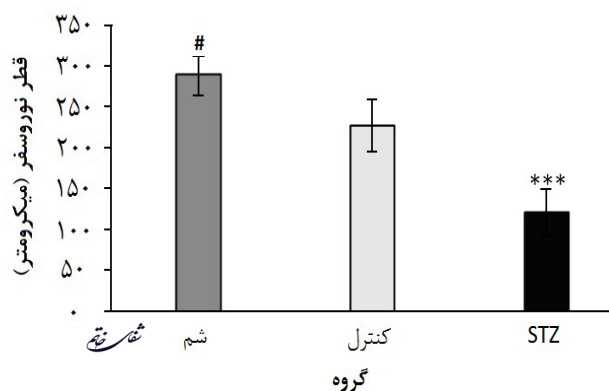
تصویر ۱- بررسی ریخت شناسی نوروسферها: همان طور که در تصویر دیده می‌شود نوروسferها از نظر ریخت شناسی در اشکال متغیر مدور با حاشیه منظم و طلایی روشن، مانند آنچه در گروه شم و کنترل دیده می‌شود (الف) گاهی بی‌شکل با حاشیه نامنظم و رنگ طلایی تیره مایل به قهوه‌ای که بیشتر در گروه STZ مشاهده می‌شود (ب) در همه گروه‌ها به ویژه گروه شم تعدادی از نوروسferها چسبیده به یک طرف با حاشیه منظم و استطاله‌های فراوان دیده می‌شوند (ج)- تمامی تصاویر با بزرگنمایی ۴۰X می‌باشند.



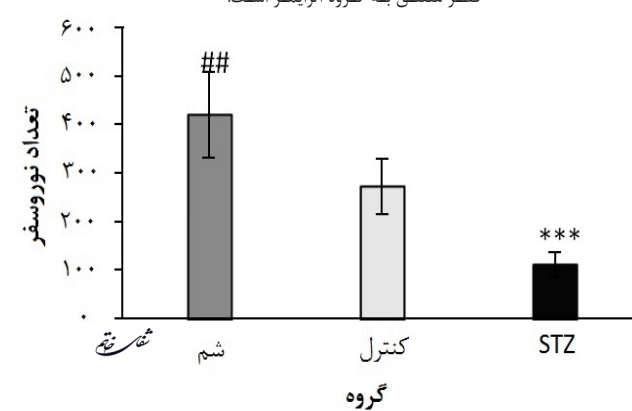
تصویر ۲- مقایسه تعداد نوروسfer بین گروه‌های STZ، کنترل و شم. کاهش تعداد نوروسfer از چپ به راست قبل مشاهده است و بیشترین تعداد نوروسfer در گروه شم و کمترین تعداد را در گروه STZ شاهد هستیم.



تصویر ۳- مقایسه قطر نوروسferها بین گروه‌ها: بیشترین میانگین قطر نوروسfer متعلق به گروه شم و کمترین قطر متعلق به گروه آلزایمر است.



نمودار ۲- میانگین قطر نوروسferها میان گروه‌های STZ، کنترل، شم (علامت * بیانگر مقایسه میان هر سه گروه و علامت # بیانگر مقایسه میان گروه شم با کنترل می‌باشدند). $P<0.05$ یا $\# = P<0.01$ یا $\#\# = P<0.001$ یا $\#\#\# = P<0.0001$ یا $\#\#\#\# = P<0.00001$ یا $\#\#\#\#\# = P<0.000001$ یا $\#\#\#\#\#\# = P<0.0000001$ یا $\#\#\#\#\#\#\# = P<0.00000001$ یا $\#\#\#\#\#\#\#\# = P<0.000000001$.



نمودار ۱- مقایسه تعداد نوروسfer بین گروه‌های STZ، کنترل، شم (علامت * بیانگر مقایسه میان هر سه گروه و علامت # بیانگر مقایسه میان گروه شم با کنترل می‌باشدند). $* = P<0.05$ یا $\# = P<0.01$ یا $\#\# = P<0.001$ یا $\#\#\# = P<0.0001$ یا $\#\#\#\# = P<0.00001$ یا $\#\#\#\#\# = P<0.000001$ یا $\#\#\#\#\#\# = P<0.0000001$ یا $\#\#\#\#\#\#\# = P<0.00000001$.

در بررسی حاضر نیز با توجه به بررسی‌های گذشته که مدل STZ را به عنوان یکی از روش‌های تأیید شده برای القاء مدل آزارایمیر معرفی کردند از تزریق STZ به صورت درون بطنی استفاده شد. آسیب‌های نورونی که به دنبال آزارایمیر در سلول ایجاد می‌شود، سبب راه اندازی سیری از واکنش‌های سلولی می‌شود که در نهایت، استرس‌های سلولی طولانی‌مدت، اختلالات میتوکندری، تضعیف متابولیسم سلولی و همین‌طور فعال شدن مسیرهای مختلف را به همراه دارد که نهایتاً مرگ سلولی را موجب می‌شوند. تحقیقاتی که به تازگی بر روی بافت مغزی اجسام صورت گرفته است، ارتباط نزدیکی بین مشخصات سلول‌های پاتولوژیک در بیماران آزارایمیر با افرادی که دارای سطوح پایین هورمون‌های انسولین و گیرنده‌های آن هستند را نشان داده است (۲۰).

در این مطالعه برای اولین بار تأثیر STZ بر سلولهای بنیادی/پیش‌ساز عصبی ناحیه تحت بطنی مورد ارزیابی قرار گرفت و مشاهده شد تعداد و قطر نوروسفرها در گروه STZ بسیار کمتر از دو گروه کنترل و شم بود که این نتیجه همراه با مطالعات پیشین در زمینه اثر STZ بر تخریب متابولیسم سلولی و کاهش تعداد سلول‌ها به دلیل مرگ نورونی است. در این مطالعه تعداد و قطر نوروسفر در گروه شم به طور معنی‌داری نسبت به گروه کنترل بیشتر بود که علت این امر استرس ناشی از جراحی استریوتاکسی و آسیب بافتی ایجاد شده متعاقب آن در گروه شم سبب تحریک سلول‌های بنیادی ناحیه تحت بطنی برای ترمیم نواحی آسیب دیده شده و این سلول‌ها با ترشح فاکتورهای رشد و انواع انتقال دهنده‌های عصبی سبب ورود سلول‌های بنیادی ناحیه تحت بطنی به فاز تکثیری می‌شوند.

در این روش، ترکیب STZ به صورت داخل بطن مغزی تزریق می‌شود و بر اساس مطالعات پیشین، مosh‌هایی که استرپتوزوسمین را به صورت داخل مغزی دریافت کرده بودند، پس از مدتی سایز مغز آن‌ها کاهش پیدا کرد و علاطم سلولی وابسته به اختلالات تحلیل رونده عصبی از جمله مرگ سلولی، گلیوز، افزایش میزان پروتئین tau و آمیلوئید بتا را نشان می‌دادند (۲۱). Hosseinzadeh و همکاران زوال شناختی قابل توجهی را با میانگین تأخیر فرار طولانی‌مدت^{۲۹} در تست رفتاری ماز آبی موریس بین گروه ۲۱ روزه تزریق STZ در مقایسه با گروه تزریق نرمال سالین مشاهده کردند (۲۲). راهبردهای^{۳۰} درمانی که روی حیوانات تیمار شده با تزریق درون بطنی STZ انجام شده است در مطالعه Salkovic-Petricic و همکاران آورده شده است (۲۳). در این مطالعه برای اولین بار نشان داده شد داروی STZ منجر به اختلال در متابولیسم سلولی و کاهش تعداد و قطر نوروسفرهای ناحیه تحت بطنی می‌شود که این امر حاکی از کاهش پتانسیل تکثیری و خود تجدیدی سلول‌های بنیادی/پیش‌ساز عصبی این ناحیه است.

میانگین قطر نوروسفرها در گروه‌های آزارایمیر، کنترل و شم به ترتیب ۷۲/۱۲۰، ۵۰/۳۲ و ۲۲۷/۲۹۰ میکرومتر است. یافته‌های حاصل از این تحقیق نشان داد قطر نوروسفرها در گروه آزارایمیر نسبت به دو گروه دیگر به صورت معنی‌داری کاهش یافته است که این امر حاکی از کاهش پتانسیل تکثیری سلول‌های بنیادی ناحیه تحت بطنی تحت تأثیر داروی STZ است. همان‌طور که در (تصویر ۳) و (نمودار ۲) به تصویر کشیده شده است، تفاوت معنی‌داری میان میانگین قطر نوروسفرها در هر سه گروه به خصوص میان گروه STZ با دو گروه دیگر مشاهده شد (سطح معنی‌داری ۱۱<P<۰/۰۰۱) و میزان F برابر ۴۳/۸۳ و میزان F برابر ۰/۰۵ می‌باشد. همچنین اختلاف معنی‌داری با (P<۰/۰۵) بین گروه شم و کنترل دیده شد.

بحث و نتیجه‌گیری

سازوکار دقیق بیماری آزارایمیر بر محققین روشن نیست. عوامل زیادی که اصطلاحاً عوامل ثانویه نامیده می‌شوند مانند سوخت و ساز غیرطبیعی گلوکز و استرس اکسیداتیو^{۲۸} در شروع و پیشرفت این بیماری دارای اهمیت است. اولین و مهم‌ترین فرایند غیرطبیعی در بیماری آزارایمیر سوخت و ساز غیرطبیعی گلوکز مغز است که منجر به آسیب جدی به گیرنده‌های انسولین و مسیر انتقال سیگنال می‌شود و خود می‌تواند واسطه آسیب سلولی و آپوپتوز و مرگ سلولی نورون‌ها شوند. Duan و همکارانش نشان دادند در صورت استفاده از STZ با کاهش سطح ATP در نورون‌ها شناسی تولید Tau هایپرفسفریله بالاتر می‌رود. حافظه کوتاه‌مدت و حافظه بلندمدت نیز به طور پیشرونده و مرحله به مرحله بعد از تزریق درون بطنی STZ رو به زوال می‌گذارند و از آنجا که این مدل منجر به اختلال رفتاری، اختلال متابولیسم انرژی و گلوکز می‌شود، برای مدل تک‌گیر آزارایمیر بسیار مناسب است (۵).

STZ و همکاران نشان دادند که تزریق داخل بطنی Lannert باعث ایجاد اختلالات متابولیکی در مغز مosh‌های صحرایی از طریق مهار گیرنده‌های انسولین می‌شود. از طرفی انسولین در سطح سلول دارای اثرات متعددی بر روی نورون‌ها می‌باشد (۱۸). تزریق داخل بطنی STZ می‌تواند فعالیت استیل کولین ترانسفراز را در قشر مغز و هیپوکامپ کاهش دهد و موجب زوال پیشرونده حافظه و یادگیری شود (۳). Gold نشان داد حیوانات، مدل STZ زوال پیشرونده در فعالیت‌های شناختی، مشابه آنچه در آزارایمیر اتفاق می‌افتد را نشان می‌دهند. به عنوان مثال اختلال در کنترل در متابولیسم گلوکز در مغز به عنوان یکی از اولین و اصلی‌ترین ناهنجاری‌های ایجاد شده در مدل تک‌گیر آزارایمیر است و موجب اختلال در عملکرد انسولین می‌شود (۱۹).

²⁸ Oxidative stress

²⁹ Prolonged mean scape latency

³⁰ Strategies

1. Katzman R. The prevalence and malignancy of Alzheimer disease: a major killer. *Arch Neurol.* 1976; 33(4): 217-8.
2. Kandel ER, Schwartz JH, Jessell TM. Principles of neural science. 4th ed. New York: McGraw-Hill. 2000.
3. Peri A, Serio M. Neuroprotective effects of the Alzheimer's disease-related gene seladin-1. *J Mol Endocrinol.* 2008; 41(5): 251-61.
4. Guigon CJ, Zhao Li, Changxue Lu, Willingham MC, Cheng SY. Regulation of β -catenin by a novel nongenomic action of thyroid hormone β receptor. *Mol Cell Biol.* 2008; 28(14): 4598-608.
5. Duan X, Kang E, Liu CY, Ming GL, Song H. Development of neural stem cell in the adult brain. *Curr Opin Neurobiol.* 2008; 18(1): 108-15.
6. Temple S. The development of neural stem cells. *Nature.* 2001; 414(6859): 112-7.
7. Alipour F, Karimzadeh F, Hasanzadeh G. P59: Triazine improved hippocampal injuries in animal model of Alzheimer's disease. *The Neurosci J Shefaye Khatam.* 2015; 2(4): 109.
8. Alvarez-Buylla A, Temple S. Stem cells in the developing and adult nervous system. *J Neurobiol.* 1998; 36(2): 105-10.
9. Eriksson PS, Perfilieva E, Bjork-Eriksson T, Alborn AM, Nordborg C, Peterson DA, et al. Neurogenesis in the adult human hippocampus. *Nat Med.* 1998; 4(11): 1313-7.
10. Galli R, Gritti A, Bonfanti L, Vescovi AL. Neural stem cells an overview. *Circ Res.* 2003; 92(6): 598-608.
11. Reynolds BA, Weiss S. Generation of neurons and astrocytes from isolated cells of the adult mammalian central nervous system. *Science.* 1992; 255(5052): 1707-10.
12. Allen E. The cessation of mitosis in the central nervous system of the albino rat. Waverley Press. 1912; p. 22.
13. Altman J, Bayer SA. Atlas of prenatal rat brain development. CRC Press. 1994.
14. Doetsch F, Caille I, Lim DA, Garcia-Verdugo JM, Alvarez-Buylla A. Subventricular zone astrocytes are neural stem cells in the adult mammalian brain. *Cell.* 1999; 97(6): 703-16.
15. Fuentealba LC, Obernier K, Alvarez-Buylla A. Adult neural stem cells bridge their niche. *Cell Stem Cell.* 2012; 10(6): 698-708.
16. Mohammadzadeh E, Alipour F, Khallaghi B. Evaluation of spatial memory impairment after intracerebroventricular streptozocin injection in adult rats. *The Neurosci J Shefaye Khatam,* 2014; 2(1): 40-5.
17. Reynolds BA, Rietze RL. Neural stem cells and neurospheres-re-evaluating the relationship. *Nat Methods.* 2005; 2(5): 333-6.
18. Lannert H, Hoyer S. Intracerebroventricular administration of Streptozocin causes long-term diminutions in learning and memory abilities and in cerebral energy metabolism in adult rats. *Behav Neurosci.* 1998; 112(5): 1199-208.
19. Gold PE. Role of glucose in regulating the brain and cognition. *The American J Clinical Nutrition,* 1995; 61(4): 987S-95S.
20. Cuevas E, Auso E, Telefont M, Morreale de Escobar G, Sotelo C, Berbel P, et al. Transient maternal hypothyroxinemia at onset of corticogenesis alters tangential migration of medial ganglionic eminence-derived neurons. *Eur J Neurosci.* 2005; 22(3): 541-51.
21. Hassanzadeh G, Hosseini A, Pasbakhsh P, Akbari M, Ghaffarpour M, Takzare N, et al. Trimetazidine prevents oxidative changes induced in a rat model of sporadic type of Alzheimer's disease. *Acta Med Iran.* 2015; 53(1): 17-24.
22. Hosseinzadeh S, Zahmatkesh M, Heidari M, Hassanzadeh GR, Karimian M, Sarrafnejad A, et al. Hippocampal DHCR24 down regulation in a rat model of Streptozocin-induced cognitive decline. *Neurosci Lett.* 2015; 587: 107-12.
23. Salkovic-Petrisic M, Knezovic A, Hoyer S, Riederer P. What have we learned from the Streptozocin-induced animal model of sporadic Alzheimer's disease, about the therapeutic strategies in Alzheimer's research. *J Neural Transm (Vienna).* 2013; 120(1): 233-52.